

СЗЧЧ.10  
II-50

Июль 1966, № 5, С. 19-26

ОБЪЕДИНЕННЫЙ  
ИНСТИТУТ  
ЯДЕРНЫХ  
ИССЛЕДОВАНИЙ

Дубна

2355



Э.Г. Имаев, Б.В. Фефилов, Л.П. Челноков

СИСТЕМА РЕГИСТРАЦИИ ОСКОЛКОВ ДЕЛЕНИЯ  
НА ВНУТРЕННЕМ ПУЧКЕ 310 см ЦИКЛОТРОНА  
ОБЪЕДИНЕННОГО ИНСТИТУТА  
ЯДЕРНЫХ ИССЛЕДОВАНИЙ

СИСТЕМА РЕГИСТРАЦИИ ОСКОЛКОВ ДЕЛЕНИЯ

1965

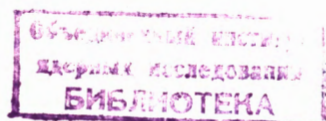
2355

Э.Г.Имаев, Б.В.Фефилов, Л.П.Челноков

3226/2  
nр.

СИСТЕМА РЕГИСТРАЦИИ ОСКОЛКОВ ДЕЛЕНИЯ  
НА ВНУТРЕННЕМ ПУЧКЕ 310см ЦИКЛОТРОНА  
ОБЪЕДИНЕННОГО ИНСТИТУТА  
ЯДЕРНЫХ ИССЛЕДОВАНИЙ

Направлено в ПТЭ



## Введение

Известно, что основная трудность, которая встречается при синтезе трансурановых элементов с помощью ускоренных тяжелых ионов, связана с малой величиной сечений ядерных реакций. Отсюда непосредственно вытекает задача создания высокочувствительной методики с регистрацией изучаемых продуктов реакции без потери информации. Так, при изучении свойств распада изотопов трансурановых элементов спонтанным делением необходимо, по крайней мере, регистрировать относительное время появления осколков деления для определения периода полураспада и их энергетический спектр.

В настоящей работе описывается электронная аппаратура, примененная в опытах по изучению спонтанного деления изотопа 102-го элемента с массовым числом 256, образующегося в реакции  $^{238}_{\text{U}} (\text{Ne}^{22}, 4n) ^{102}_{\text{Ru}}$  на внутреннем пучке 310 см циклотрона ОИЯИ<sup>1/</sup>, а также в опытах по обнаружению изомеров с аномально коротким периодом полураспада<sup>2/</sup>.

### 1. Принцип работы аппаратуры

В вышеуказанных опытах ранее применявшимися детекторами для измерения констант спонтанного деления (ионизационная камера, пропорциональный или сцинтилляционный счетчик) оказались неприемлемыми вследствие сравнительно большой удельной  $\alpha$ -активности мишени и необходимости работы в сильном магнитном поле (~ 18 кэ). Поэтому в качестве детекторов осколков деления были выбраны поверхностно-барьерные кремниевые детекторы с удельным сопротивлением 300 ом · см и с общей чувствительной поверхностью около 12 см<sup>2</sup>, имеющие малое время нарастания сигнала и нечувствительные в магнитному полю. Эксперименты проводились на пробнике, имеющем наклонную мишень из  $^{238}_{\text{U}}$  с эффективной толщиной 2–5 мг · см<sup>-2</sup>, периодически облучаемую пучком тяжелых ионов с интенсивностью 20–25 мкА<sup>1/</sup>. Детекторы устанавливались на подвижную каретку с приводом через капроновый трос от реверсивного мотора с редуктором. Аппаратура и ускоритель управлялись блоком автоматики, который определялся

лял два режима работы: "Облучение" и "Измерение". В режиме "Облучение" детекторы удалялись от мишени в положение П2 (рис. 1), измерительный тракт блокировался и мишень облучалась. В режиме "Измерение" высокочастотный генератор ускорителя запирался (пучок отсутствовал), детекторы перемещались в положение П1 (рис. 1), а измерительный тракт разблокировался. Временные диаграммы работы ускорителя и аппаратуры изображены на рис. 2. Основные временные параметры следующие:

1. Ускоритель работал в импульсном режиме с частотой повторения 200-250 Гц; длительность импульса в/ч генератора  $T_{в/ч}$  = 1-2 мсек; передний фронт импульса источника задержан относительно переднего фронта импульса в/ч генератора на 100-300 мсек, а задний фронт синхронизирован с задним фронтом импульса в/ч генератора.

2. Режим облучения  $T_0$  = 1 сек - 150 сек.

3. Режим измерения  $T_u$  = 1 сек - 150 сек.

4. Время движения каретки с детекторами:

а) от мишени  $T_m = 3,5 - 4$  сек,

б) к мишени  $T_m = 2 - 2,2$  сек.

5. Момент выключения пучка ускорителя (режим облучения) соответствует моменту конца движения каретки от мишени, а момент выключения пучка (режим измерения) задержан относительно начала движения каретки к мишени на 1,5 сек.

6. Импульс блокировки измерительного тракта опережает момент включения мотора движения каретки от мишени и отстает от момента выключения мотора при движении каретки к мишени на 0,2 сек.

Блок-схема аппаратуры, полностью выполненной на транзисторах, приведена на рис. 1. В головке пробника монтировались два зарядовых предусилителя (ЗПУ), подключаемых в режиме измерения каждый к своему детектору, а также концевики, управляющие включением и выключением мотора движения каретки.

В хвостовой части пробника располагались усилители (У), дискриминаторы-формирователи (ДФ), схема антисовпадений (АС) и суммирующий усилитель ( $\Sigma$ ). Таким образом, усиление и формирование сигналов происходило по двум каналам с применением схемы антисовпадений для повышения помехозащищенности системы.

Сигналы со схемы антисовпадений (АС) и с выхода суммирующего усилителя ( $\Sigma$ ) передавались по в/ч кабелям длиной 120 м на блоки автоматики и регистрации. Кнопка  $K_B$  мог блокировать регистрируемые сигналы от специального усилителя помех (УП) со своим дискриминатором -формирователем (ДФ). Блок регистрации состоял из таймерного устройства, блока запуска электромеханического счетчика

МЭС для интегрального счета регистрируемых импульсов, блока кодирования амплитуды ( $A \rightarrow N$ ) и блока управления телетайпом СТА-2М. На телеграфной ленте (или перфоленте) регистрировался момент появления сигнала относительно момента конца облучения (блокировки) с точностью до 0,1 сек, амплитуда сигнала десятью каналами с шириной канала 10 Мэв, а также номер детектора, с которого пришел регистрируемый сигнал. В блоке регистрации предусмотрен дополнительный выход для регистрации сигналов на самописце ЭПП-09. Командным импульсом регистрации является импульс со схемы антисовпадений (АС).

Блок автоматики состоял из времязадающего мультивибратора (МВ) и ряда одновибраторов (ОВ) для осуществления всех необходимых временных соотношений, описанных выше.

## 2. Зашита от помех

Основное внимание при разработке измерительного тракта аппаратуры уделялось защите от электромагнитных наводок и помех. Для этой цели предусмотрены следующие меры:

1. Входное окно пробника механически закрывалось на время измерений, так что пространство, где смонтированы детекторы и предусилители, оказывалось изолированным от объема ускорителя. Тем самым уменьшалась вероятность электрических наводок от разрядов и светового воздействия на детекторы от дуги ионного источника. Кроме того, сами детекторы и предусилители были хорошо экранированы медными экранами.

2. Осуществлялась двойная экранировка сигнальных и питающих кабелей измерительного тракта, точка заземления тщательно подбиралась.

3. Спектрометрический тракт искусственно разделен на два идентичных канала в сочетании со схемой антисовпадений ( $\tau_p = 2$  мксек). Благодаря такой комбинации сигналы, возникающие в обоих усилительных трактах с временным сдвигом менее 2 мксек и превышающие пороги дискриминации, считались фоновыми и аппаратурой не регистрировались. Как будет показано ниже, схема антисовпадений выполнена с потенциальной связью между дискриминирующими элементами и клапанами блокировки, что обеспечивает надежную защиту от наводок, имеющих характер "вспышки".

4. В схеме предусмотрен специальный тракт усилителя помех с короткой антенной на входе с выходом на блокировку измерительного тракта. Однако практически схема отлична самоблокировалась от помех без помощи этой меры.

5. Как видно из временных диаграмм (рис. 2), импульс блокировки измеритель-

вого тракта на время облучения перехрываал моменты включения и выключения мотора, управляющего движением каретки с детекторами. Тем самым исключались возможные наводки по сторонам контактов мотора.

6. В блоке автоматики предусмотрена дополнительная блокировка на время импульсного разряда источника в режиме измерения.

7. Для развязки от сети переменного тока питание предуслителей и тракте усиления - формирования осуществлялось от автономных аккумуляторов.

### 3. Измерительный тракт

Зарядовые предуслители (рис. 3) выполнены на транзисторах П403. Входные каскады работают по схеме с общей базой, а выходные - с общим коллектором. Смещение на детекторы подавалось от шин питания предуслителей +12в, при этом отношение сигнала к шуму было не менее 10 для с-частот  $\nu = 238$  Гц (4,5 Мэв) в магнитном поле 18 кГц в постоянной времени формирования 2 мксек. Чувствительность предуслителя с вышеописанными детекторами была  $0,4 \text{ нв} \cdot \text{Мэв}^{-1}$ . Каждый канал имел одноканальные усилители, состоящие из двух секций - двоек с глубокой отрицательной обратной связью (рис. 4). Общий коэффициент усиления 200, время нарастания сигнала 0,2 мксек. Оптимальная, с точки зрения отношения сигнал-шум, дифференцирующая цепочка с  $t_d = 2$  мксек была расположена на входе первой секции усилителя.

Сигналы на суммирующий усилитель, выполненный по аналогичной схеме, снимались с выходов первых секций усилителей. Усилительный тракт имел линейность не хуже 1% по выходных сигналов амплитудой 5 в, что соответствовало регистрируемой ширине - 120 Мэв.

Принципиальная схема дискриминаторов, формирователей и схема антисовпадений приведена на рис. 5. В качестве дискриминирующих элементов применялись туннельные яйоды с пиковым током 5 ма, работающие в режиме триггера Шмитта. Сигналы отрицательной полярности с туннельных диодов переключают транзисторы  $T_1$  и  $T_2$  в режим насыщения, благодаря чему на выходе формируются импульсы положительной полярности амплитудой 8 в и длительностью 3-4 мксек, зависящей от формы входного импульса, формируемого дифференцирующей цепочкой на входе усилителей. Порог дискриминации регулируется в пределах от 8 до 36 Мэв. Схема антисовпадений выполнена несколько необычно с перекрестной блокировкой каналов. Сформированный импульс с каждого канала "затягивается" на запоминающей емкости через диод. Постоянная времени затяжки подбиралась экспериментально и соответствовала примерно 100 мксек. В результате на выходе транзисторов  $T_3$  и  $T_4$  формировались импульсы с крутым переднем

фронтом, длительностью 100 мксек и амплитудой 8в. Эти импульсы использовались в качестве управляющих нормально открытых клапанов, выполненных на транзисторах  $T_5$  и  $T_6$ . Выходные импульсы формируются дифференцирующими RC цепочками, задерживаются линиями задержки на 2 мксек, ограничиваются по амплитуде и суммируются на каскаде с общей коллекторной нагрузкой ( $T_7$  и  $T_8$ ). В результате на выходе схемы антисовпадений получаются положительные импульсы с амплитудой порядка 8в с плоской вершиной длительностью несколько десятков мксек.

#### Блок автоматики

Блок автоматики выполняет три основные функции: задает период и скважность облучения мишени, управляет мотором перемещения детекторов, обеспечивает блокировку, перекрывающую по времени облучение и движение детекторов.

Датчиком временных интервалов "измерение" - "облучение" был выбран мультивибратор (МВ рис. 1). С двух плеч мультивибратора МВ снимаются 2 импульса  $T_1$  и  $T_2$  (рис. 2). Импульс  $T_1$  через схему ИЛИ<sub>1</sub> идет на блокировку. Импульс  $T_2$  поступает на одновибратор "тени" ОВ<sub>1</sub>, который удлиняет его на несколько миллисекунд ( $T_3$ ) и управляет реле Р включения вращения мотора в одну или другую сторону.

Во время импульса  $T_3$  реле Р подает напряжение  $T_4$  через ключ  $K_1$  на обмотку мотора, обеспечивающую передвижение детекторов к мишени. Детекторы доходят до мишени (положение  $\Pi_1$ ) и отключают концевиком  $K_1$  напряжение, поступающее на обмотку мотора ( $T_8$ ).

Во время отсутствия импульса  $T_3$  реле Р подает напряжение  $T_5$  через ключ  $K_2$  на обмотку мотора, обеспечивающую движение детекторов от мишени. Детекторы доходят до второго крайнего положения ( $\Pi_2$ ) и снимают питание с обмотки мотора ( $T_7$ ), размыкая концевик  $K_2$ ; одновременно другие контакты этого же концевика замыкают ключ  $K_3$  и включают напряжение  $T_{10}$ , удлиненное одновибратором ОВ<sub>2</sub> до времени  $T_{11}$  (облучение мишени).

Таким образом, команда на облучение подается принудительно кареткой с детекторами из положения  $\Pi_1$ , что полностью исключает возможность включения пучка во время нахождения детекторов у мишени. Удлинение импульса  $T_{10}$  до времени  $T_{11}$  дает возможность приблизить момент начала измерения к концу облучения.

На обеспечения непрерывности блокировок импульс  $T_{11}$  замешивается на схеме ИЛИ<sub>1</sub> с импульсами  $T_1$  и  $T_8$ .

Во время работы мотора на выходе усилителя  $U_3$  имеется сигнальный потенциал движения мотора  $T_g$ , который удлиняется одновибратором ОВ<sub>3</sub> до времени  $T_p$  к замещивается на схеме ИЛИ<sub>1</sub> для обеспечения блокировки на время работы мотора.

Суммарный импульс блокировки  $T_{12}$  с выхода схемы ИЛИ<sub>1</sub> поступает в блок регистраций. На блоке автоматики имеется сигнализация времени облучения  $T_{11}$ , времени измерения  $T_{13}$  в времени работы мотора  $T_g$ .

### 3. Блок регистрации

Блок регистрации предназначен для анализа и долговременного запоминания результатов эксперимента.

Блоком регистрируется момент появления импульса относительно конца блокировки, измеряется амплитуда регистрируемого импульса, а также фиксируется номер детектора, от которого пришел импульс.

Номинальные импульсы регистрации  $T_{14}$  поступают с выхода схемы антисовпадений (АС, рис. 1) на вход ключа  $K_6$ . Импульс регистрации  $T_{16}$  появится на выходе ключа  $K_6$ , если отсутствовал импульс  $T_{15}$  – импульс электромагнитной наводки на антенну, расположенную вблизи детекторов  $D_1$ ,  $D_2$  и предусилителей ЗПУ<sub>1</sub>, ЗПУ<sub>2</sub>. Импульс  $T_{16}$  поступает на вход ключа блокировки  $K_7$ . Ключ  $K_7$  управляется суммарным импульсом блокировки  $T_{12}$  из блока автоматики, а также импульсами поджига источника  $T_{32}$ , удлиняемых одновибратором ОВ<sub>5</sub> до длительности  $T_{33}$ , которые смешиваются на схеме ИЛИ<sub>4</sub>. Если ключ  $K_7$  открыт, т.е. отсутствует импульс  $T_{34}$ , то импульс  $T_{17}$  удлиняется одновибратором ОВ<sub>6</sub> до длительности  $T_{18}$ , необходимой для срабатывания электромеханического счетчика импульсов МЭС-54. Одновременно импульс  $T_{18}$  удлиняется одновибратором ОВ<sub>7</sub> до длительности  $T_{19}$  и подается на самописец ЭПП-09. Далее импульс  $T_{19}$  поступает на ключ  $K_8$  и, если отсутствует импульс  $T_{21}$ , дается старт  $T_{20}$  работы блока печати параметров события. Блок печати представляет собою цифропечатающее и перфорирующее устройство на базе телеграфного аппарата СТА-2М, списывающее состояние триггеров счетчика времени СЧ<sub>1</sub>, счетчика амплитуды СЧ<sub>2</sub> и триггера номера детектора СЧ<sub>3</sub>.

Таким образом, регистрация события осуществляется тремя запоминающими элементами: механическим счетчиком МЭС-54, считающим интегральное количество импульсов от двух детекторов, с мертвым временем 20–25 мсек; самописцем ЭПП-09, фиксирующим количество импульсов и момент появления импульса относительно конца

блокировки  $T_{12}$ , с мертвым временем 150-250 мсек; и телеграфным аппаратом СТА-2М, цифропечатающим и перфорирующим амплитуду пришедшего импульса, момент относительно конца блокировки, с точностью 0,1 сек и номер детектора (с мертвым временем ~ 1 сек).

Суммарный импульс блокировки  $T_{12}$  смешивается с импульсом блокировки на время печати  $T_{21}$  на схеме ИЛИ<sub>2</sub>, и импульс блокировки таймера  $T_{22}$  поступает на закрывание ключа  $K_4$ . Ключ  $K_4$  управляет прохождением импульсов  $T_{24}$ , следующих с частотой сети 50 Гц, на счетчик СЧ-1. Таким образом, моменту прихода импульса регистрации (6)  $T_{17}$  на счетчике СЧ-1 накапливается число, пропорциональное времени от конца импульса сброса таймера в "0"  $T_{23}$  до прихода импульса  $T_{17}$ . Время печати  $T_{21}$  равно точно 1 сек, поэтому, после спечатывания со счетчика СЧ-1 времени прихода импульса  $T_{17}$ , вводится коррекция в состояние СЧ-1 (добавляется 1 секунда  $T_{25}$ ).

Момент прихода следующего импульса (8)  $T_{14}$  печатается без искажения. Импульс блокировки таймера ( $T_{22}$ ) смешивается с  $T_{26}$  (импульсом времени обработки амплитуды входным блоком А - Н), и блокирует прохождение входных сигналов  $T_{30}$  с помощью ворот В. Этот же импульс блокировки входа  $T_{27}$  подается на ключ  $K_5$ , пропускающий импульсы  $T_{28}$  на счетчик индикации номера детектора СЧ-3. Амплитуда импульса  $T_{31}$  преобразуется входным блоком А - Н в число, пересчитываемое счетчиком СЧ-2. Импульс индикации номера детектора  $T_{29}$  задерживается перед счетчиком СЧ-3 линией задержки ЛЗ для подготовки СЧ-3 импульсом установки в "0" с входного блока (УО<sub>2</sub>).

На заднем фронте импульса  $T_{12}$  на ленте самописца ЭПП-09 делается нулевая отметка времени.

Весь блок регистрации по своим функциям является многомерным анализатором редких событий (МАРС), выполненным полностью на транзисторных стандартных ячейках.

Многомерный анализатор редких событий является дальнейшей модификацией печатающего анализатора, описанного в <sup>3/</sup>.

Блок печати на базе телеграфного аппарата СТА-2М отдельно описан в <sup>4/</sup>.

#### 6. Экспериментальные результаты

При проведении экспериментов аппаратура периодически проверялась на фон от на-водок и помех, производилась калибровка усиления измерительного тракта и порогов дискриминации, а также стабильности основных параметров блоков автоматики и системы регистрации. Кроме того, проводились исследования поведения детекторов и транзисторных предуслителей в условиях длительного облучения нейtronами и сильного

магнитного поля. Проверка аппаратуры на фон от взаимодействия наводок и помех производилась следующим образом. Пробник устанавливался в камеру ускорителя на рабочий радиус, включалась аппаратура на рабочий режим. Пучок в ускорителе отсутствовал, но источник был зажжен. Мишень закрывалась фольгой. Длительные испытания аппаратуры в течение двух лет показали, что фон в этом режиме не превышал 1 импульса за 2 часа. Работоспособность измерительного тракта контролировалась также при помощи  $\text{Po-238}$  нейтронного источника ( $\sim 10^6 \text{ н}\cdot\text{сек}^{-1}$ ), расположенного в непосредственной proximity от мишени со слоем  $U^{235}$ . Результаты одного из измерений приведены в таблице 1.

Т а б л и ц а 1

Порог дискриминации (относит. един.)	1	3	5	7	9
Число отсчетов за 5 мин.	Канал 1	16	17	21	9
	Канал 2	19	16	12	6
	Суммарный отсчет	33	34	31	22
					17

Пороги дискриминации устанавливались следующим образом. По известным  $a$ -частотам  $U^{238}$  ( $\sim 4,5$  Мэв) калибровался сигнал генератора импульсов ГИ-2А, поступающий через 3 пф на вход предусилителей с включенными детекторами. Далее импульсы с генератора увеличивались до значения, соответствующего двойной амплитуде  $a$ -частот (8 Мэв), и выставлялись нулевые значения порогов дискриминаторов. Максимальные значения порогов соответствовали энергии  $\sim 30$  Мэв. Суммарная нестабильность порогов и коэффициентов усиления измерительного тракта за 15 часов непрерывной работы видна из таблицы 2 и не превышает 5%.

Т а б л и ц а 2

Порог дискриминации (относит. един.)	Амплитуда генератора, соответствующая порогу (мв)			
	Начало работы		Через 15 часов	
	Канал 1	Канал 2	Канал 1	Канал 2
0	130	130	135	124
3	170	180	178	157
6	225	215	212	211
10	285	280	293	270

Стабильность временных параметров блока автоматики ухудшалась в пределах 10% рабочего диапазона, а стабильность амплитудных порогов системы генераторных блоков не хуже 2%.

Наблюдалось "утомление" детекторов при длительной работе в режиме ускорителя как за счет облучения потоком нейтронов, так и за счет большой изотропной якобиности мишени. Так, например, при работе в режиме  $T_{90}/T_{10} = 40$  сек/30 сек с потоком ускоренных ионов  $\text{Ne}^{20}$  с  $E = 115$  Мэв (интеграл тока 25,7 мк-час при потоке нейтронов через детекторы  $5 \cdot 10^5 - 10^6$ ) наблюдалось изменение амплитуды от  $\alpha$ -частич на 20-30%, а отношение сигнал-шум для  $\alpha$ -частич  $\eta^{320}$  падало с 10 до 1. Однако после суточного "отдыха", как правило, свойства детекторов восстанавливались. Магнитное поле на отношение сигнал-шум практически не влияло. Смена детекторов и предуслышателей производилась лишь один раз за два года при средней работе антеннаторов 30-40 часов в неделю.

В заключение авторы считают своим приятным долгом поблагодарить членов-корреспондента АН СССР Г.Н.Флерова за постановку работы, а также В.А.Друина и Н.К.Скобелева за обсуждение результатов в помощь в работе.

#### Л и т е р а т у р а

1. В.А.Друин, Н.К.Скобелев, Б.В.Фефилов, Г.Н.Флеров. Препринт ОИЯИ Р-1580 Дубна 1964.
2. В.А.Друин, Н.К.Скобелев, Б.В.Фефилов, В.И.Кузнецов, Ю.В.Лебяков, Ю.И.Степенский. Препринт ОИЯИ Р-1851, Дубна 1964.
3. М.С.Бирулев и др. ПТЭ, № 5, 90, 1963.
4. Э.Г.Имаев, Л.Н.Челюков. Труды VI конференции по ядерной электронике. Атомиздат, 1965 г.

Рукопись поступила в издательский отдел  
8 сентября 1965 г.

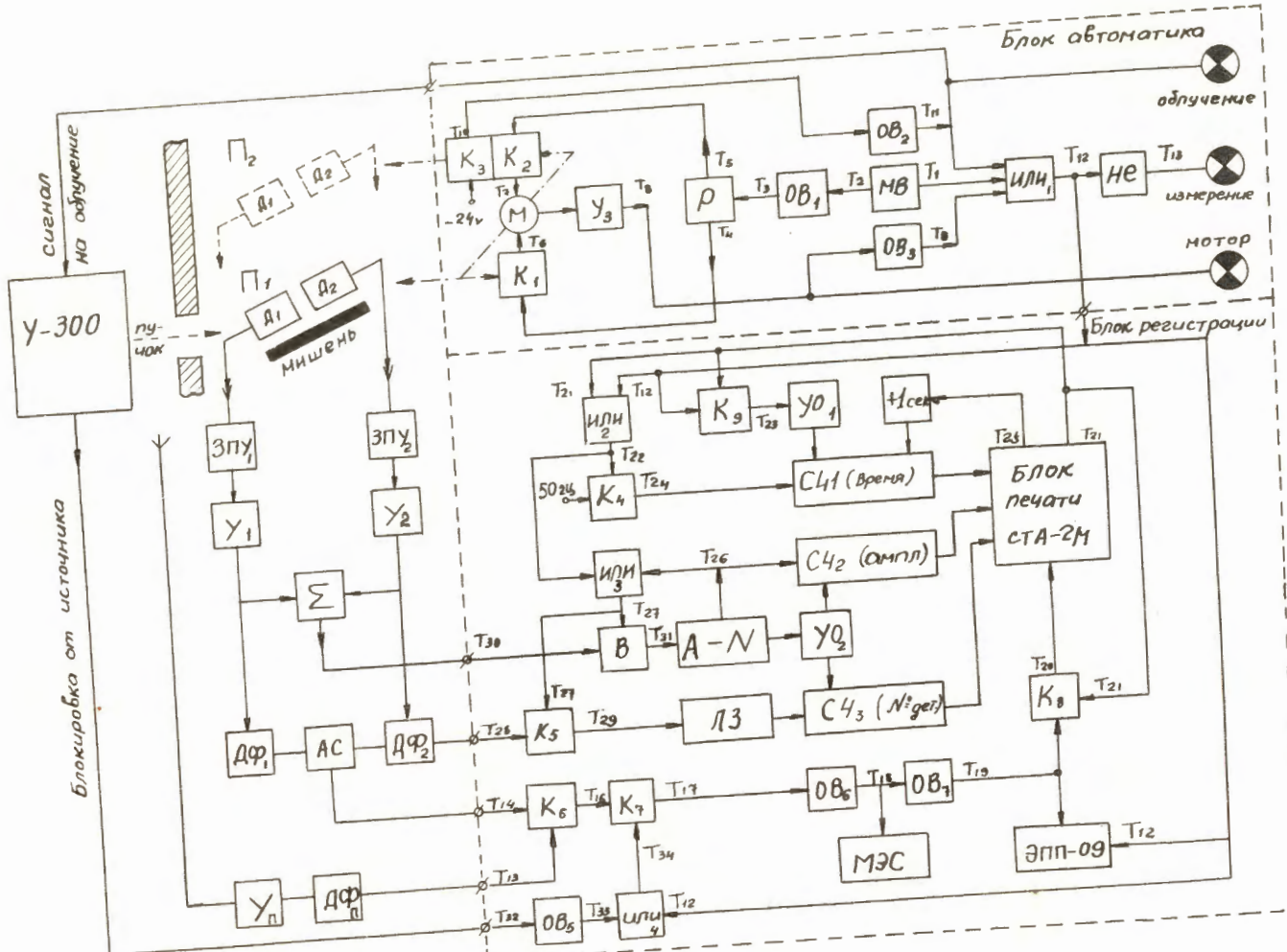


Рис. 1. Блок-схема аппаратуры.

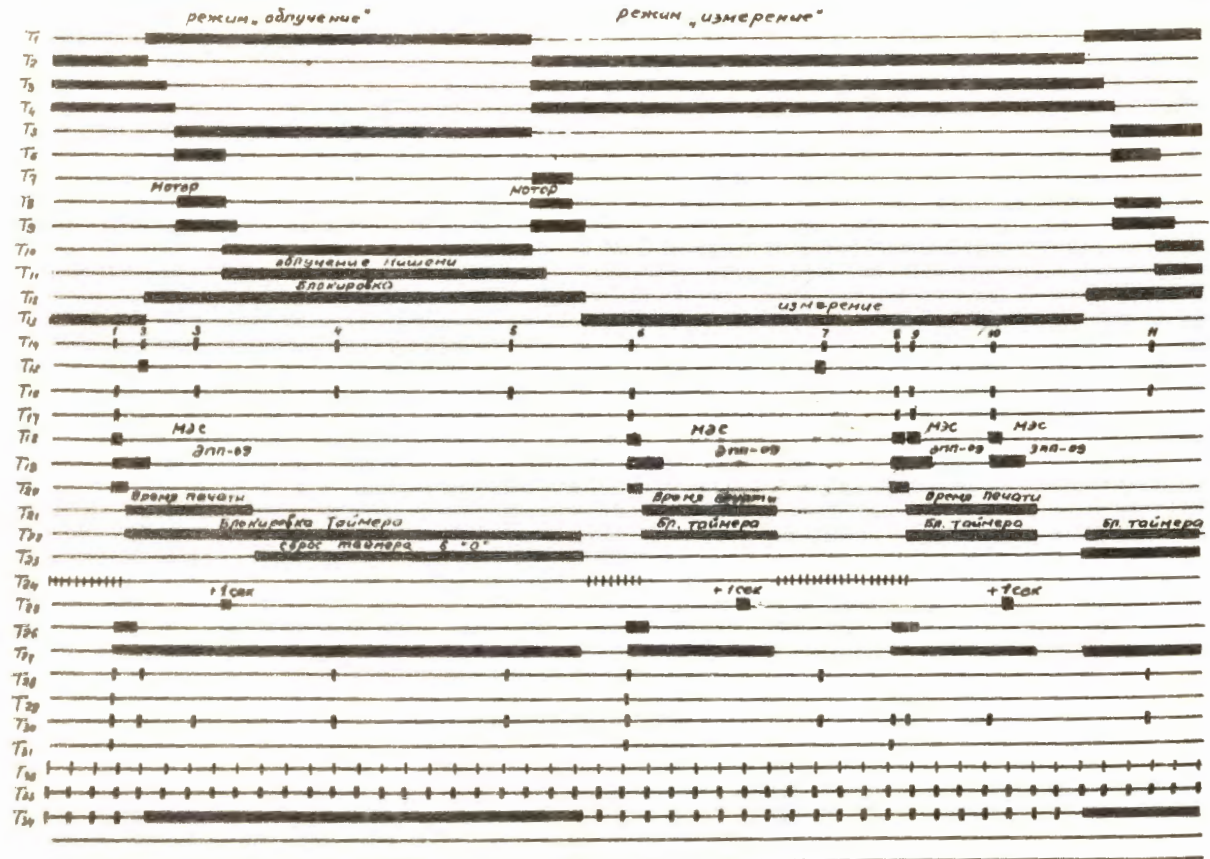


Рис. 2. Временные диаграммы работы аппаратуры.

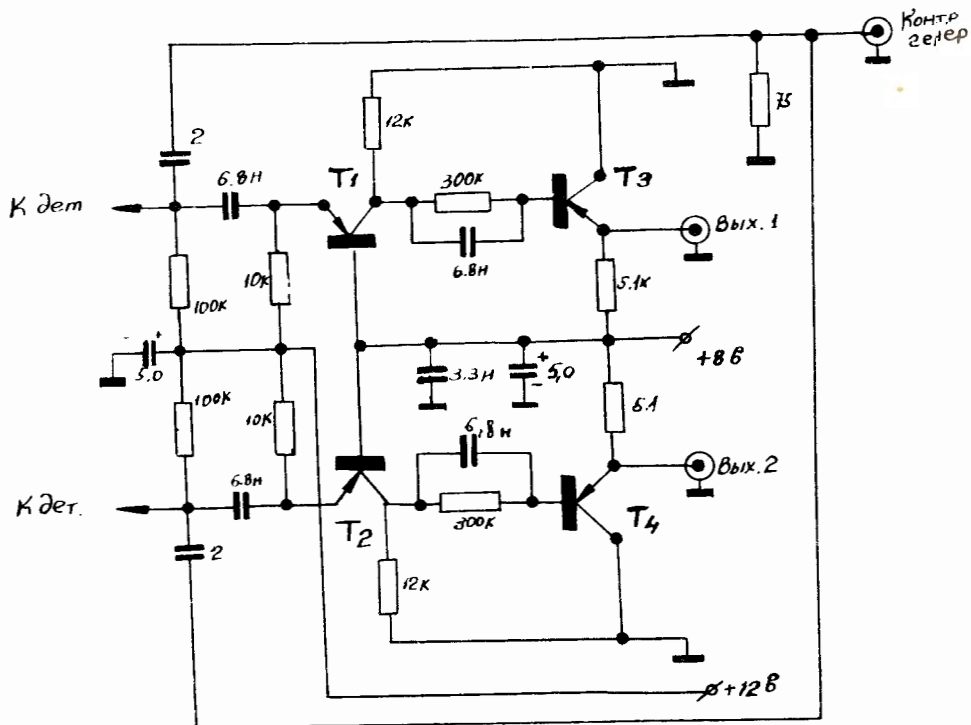


Рис. 3. Схема предусилителя.

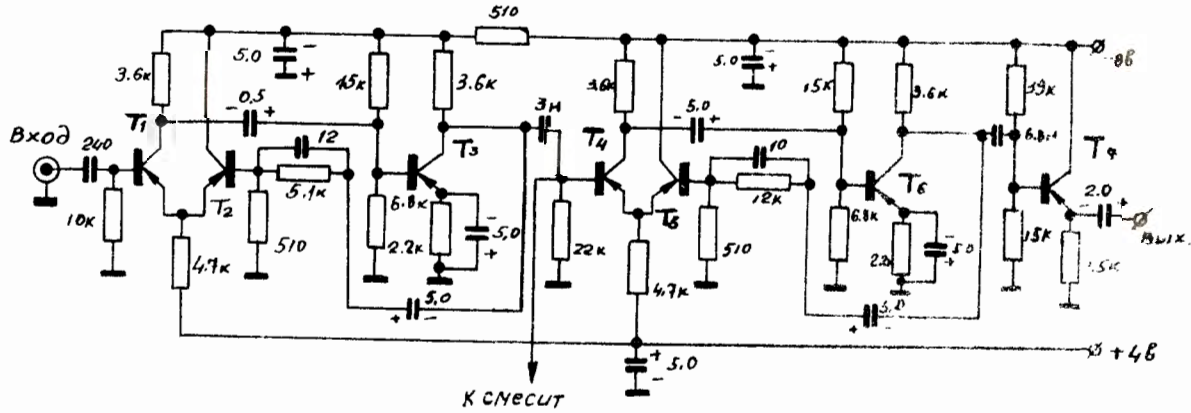


Рис. 4. Схема усилителя.

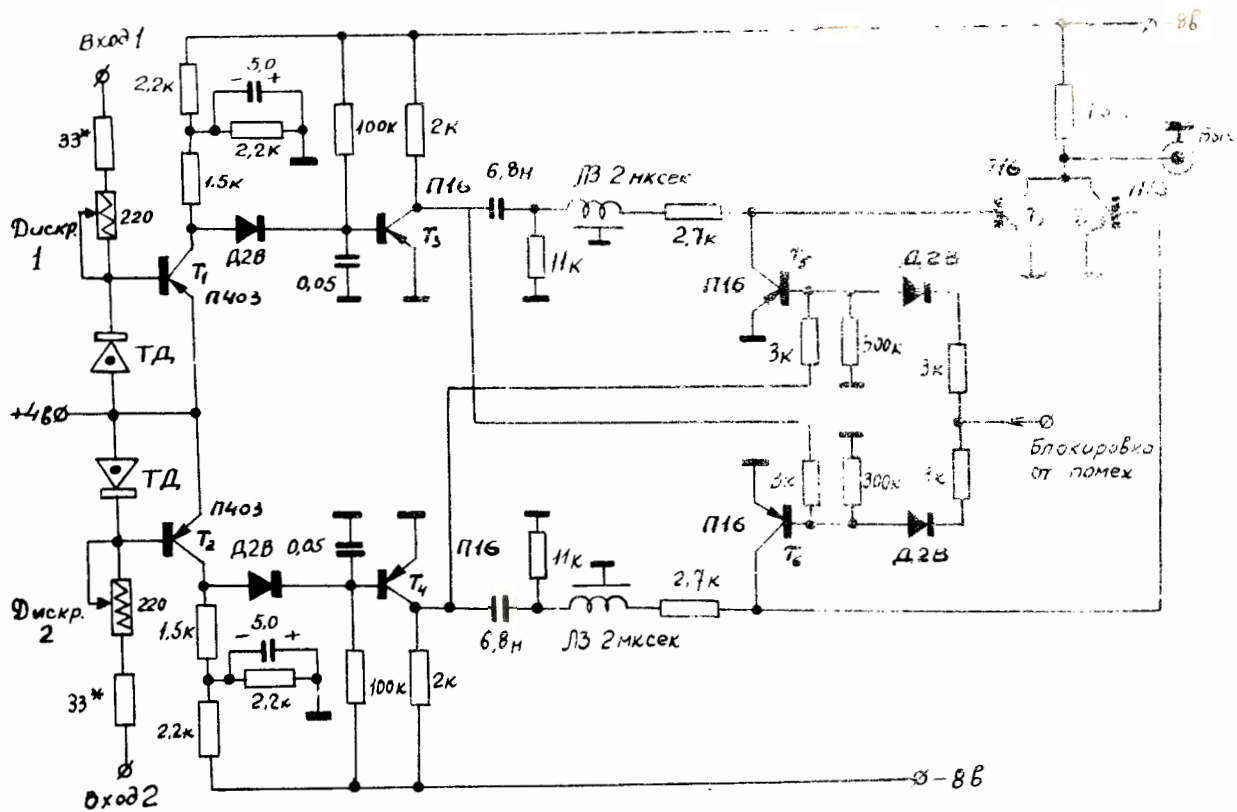


Рис. 5. Схема дискриминации и антисовпадений.